

Biolog ECO 和 DGGE 数据几种分析方法的比较研究

毛如志¹, 王文鹏¹, 李彬², 何霞红¹

(1. 云南农业大学 农业生物多样性研究中心, 云南 昆明 650201; 2. 宣威市农业局农技推广中心, 云南 宣威 655400)

摘要: PCA (Principal Component Analysis) 常用于 Biolog ECO 和 DGGE 数据分析, 但是该方法无法正确区分不同环境微生物的多样性结构, 也无法实现微生物标记的发现。为实现该功能, 研究采用 PCA、PLS-DA (partial least squares – discriminant analysis)、PLS-EDA (partial least squares – discriminant enhance analysis) 及 PLS (partial least squares)、OPLS (orthogonal to partial least squares) 方法对 Biolog ECO 和 DGGE 数据进行分析。结果表明: DGGE 数据通过 PLS-EDA 分析方法能区分不同环境微生物多样性的结构 ($PC_1 = 16.8\%$) ; 采用 PLS-DA 分析方法, 发现两个环境样品中有 1 个样品重合 ($PC_1 = 33\%$) ; PCA 分析方法分离效果最差 ($PC_1 = 27.1\%$) 。Biolog ECO 数据通过 PLS-EDA 分析方法能区分不同环境微生物多样性的结构 ($PC_1 = 25.5\%$) ; PLS-DA 分析方法有 4 个样品重合 ($PC_1 = 36.3\%$) ; PCA 分析方法效果最差 ($PC_1 = 35.1\%$) 。Biolog ECO 和 DGGE 数据进行 PLS 和 OPLS 分析方法筛选后, 发现多个潜在的碳源及物种, 可作为不同环境条件下微生物标记物。可见, PLS-EDA 优于 PLS-DA 及 PCA, 是微生物研究的重要方法; PLS 和 OPLS 分析方法中 VIP (variable important value) ≥ 1.00 的条带和碳源可作为潜在的微生物标记。图 7, 表 1, 参 24。

关键词: Biolog ECO; DGGE; 数据; PCA; PLS-DA; PLS-EDA; PLS; OPLS

中图分类号: S154.3 文献标识码: A

Comparison among Several Methods for Biolog ECO and DGGE Data Analysis

MAO Ru-zhi¹, WANG Wen-peng¹, LI Bin², HE Xia-hong¹

(1. The National Center for Agricultural Biodiversity, Yunnan Agricultural University, Kunming 650201, China;

2. Agricultural Technology Promotion Center of Xuanwei City, Xuanwei 655400, China)

Abstract: PCA is a normal method used for Biolog ECO and DGGE data analysis. However, this method hardly distinguishes soil microbial diversity structure and microbial markers in different environments. In this study, PCA, PLS-DA, PLS-EDA methods were used to study microbial diversity structure in different environments. PLS, OPLS methods were used to discover microbial makers. The results showed that: PLS-EDA method completely separated microbial diversity structure in different environments ($PC_1 = 16.8\%$), one sample could not be completely separated by PLS-DA ($PC_1 = 33\%$), but PCA was not good method to microbial diversity structure for DGGE data analysis. PLS-EDA completely separated microbial diversity structure different environments ($PC_1 = 25.5\%$), one sample could not be completely separated by PLS-DA ($PC_1 = 36.3\%$), also, PCA was not good method to microbial diversity structure for Biolog ECO data analysis. PLS and OPLS were selected for microbial makers, both methods were suited for underlying microbial makers. In conclusion: PLS-EDA was an optimum method to distinguish different environments soil samples. PLS and OPLS may develop as methods to select underlying microbial makers.

Key words: biolog ECO; DGGE; data; PLS-DA; PLS-EDA; PLS; OPLS; OPLS

过去的研究中, 微生物多样性的数据采集方法主要包括: Biolog ECO^[1]、变性梯度凝胶电泳 (DGGE)^[2-3]、磷脂脂肪酸 (PLFA)^[4]、宏基因组 (Metagenome)^[5]、随机扩增多态性 DNA 标记 (RAPD)^[6]、扩增片段长度多态性 (AFLP)^[7]等技术。其中, Biolog ECO 和 DGGE 是微生物研究的重要工具。微生物多样性的数据是多元变量, 目前, 多元变量分析方法有无监督分析方法及有监督的分析方法 2 种。无监督分析方法中的主成分 (PCA) 常用于不同环境条件下微生物多样性差异的研究, 但是无监督分析方法存在以下问题: 无法建立模型及进行可靠性检测; 无法进行分类, 无法识别样本间微小差异, 目标

收稿日期: 2014-05-03; 修回日期: 2014-05-22.

基金项目: 973 项目 (2011CB100400) 资助.

第一作者简介: 毛如志 (1986-), 男, 云南禄劝人, 在读博士, 研究方向为作物多样性与病害控制.

通讯作者: 何霞红 (1975-), 女, 云南昆明人, 教授, 研究方向为作物多样性与病害控制.

性弱, 结果分散, 效率低; 临界值的判定依赖 PCs 的得分系数, 目前无统一的临界值。有监督的分析方法有最小二乘法 (PLS)^[8]、正交最小二乘法 (OPLS)^[9-10]、kernel 函数正交最小二乘法 (K-OPLS)^[11]、最小二乘法判别法 (PLS-DA)^[12]、最小二乘法增强判别法 (PLS-EDA)、正交最小二乘法判别法 (OPLS-DA)^[13]、kernel 函数正交最小二乘法判别法 (K-OPLS-DA)^[14] 等。有监督的分析方法克服无监督分析方法的弱点, 可对微生物数据进行分组、分类, 结果直观, 目标性强, 采用 VIP (Variable important) ≥ 1.00 作为临界值。目前, 有监督的分析方法仅有最小二乘法 (PLS)^[8] 用于微生物多样性的研究。

为更好地解释不同环境对土壤微生物的碳源代谢及物种多样性影响, 研究通过比较 PCA、PLS-DA、PLS-EDA 及 PLS、OPLS 分析法, 来实现微生物在不同环境中差异及差异代谢碳源的鉴定及物种的鉴定。

1 材料与方法

1.1 土壤取样

于 2011 年, 分别在昭通靖安及鲁甸、昆明寻甸取玉米与马铃薯间作 (种植模式 2:2) 收获时期的土壤样品, 每个点取 3~5 份。用于 Biolog ECO 分析的土壤样品以最快速度置于 4℃ 冰箱保存, 用于 DGGE 分析的土壤样品用 1.5 ml 离心管装好置于 -80℃ 冰箱保存。

1.2 基质利用的评价

采用 Biolog ECO (Biolog, Inc. CA) 平板作为基质, 平板培养及数据读取参照文献进行^[1], 获得的数据选择 120 h 进行多元变量分析。

1.3 土壤 DNA 的提取及 PCR-DGGE

土壤 DNA 采用百泰克 (E. Z. N. A. ® Soil DNA Kit) 按照说明书提取。

1.3.1 PCR。选取细菌 16SrRNA V6-V9 高变区引物: F-968-GC (5'-CGC CCG GGG CGC GCC CCG GGCGGG GCG GGG GCA CGG GGG GAA CGC GAA CCT TAC-3') 和 R-1401 (5'-CGG TGT GTA CAA GAC CC-3'), PCR 产物的片段为 500 bp, PCR 方法采用 TD-PCR, 94℃ 8 min, 94℃ 1 min, 60℃ -50℃ 1 min, 72℃ 1 min 10 个循环, 94℃ 1 min, 50℃ 1 min, 72℃ 1 min 25 个循环, 72℃ 7 min, 4℃ 保存, 反应结束后置于 -20℃ 冰箱储存备用。反应体系: 2 × Master Mix 25 μL, dd H₂O 21.50 μL, BSA 0.5 μL, F-968-GC 1 μL, R-1401 1 μL, 模板 1 μL, 采用 1.2% 琼脂糖电泳确认 PCR 产物。

1.3.2 DGGE。100 μL PCR 产物用 Bio-Rad 旋蒸仪浓缩 5~6 倍, The Dcode Universal Mutation Detection Delivery System (Bio-Rad) 用于灌制 30% ~ 65% 梯度胶。具体过程为: 各取 15 mL 30% 和 65% 的变性胶, 加 340 μL 的溴酚蓝染液到 65% 高浓度胶中, 混匀。然后, 分别在 30% 和 65% 的变性胶加入 170 μL 过硫酸铵 (10%) 和 17 μL TEMED, 快速灌胶, 聚合 1 h ~ 2 h。将 1 × TAE 在 Bio-Rad Dcode Mutant detect system 电泳槽中预热到 60℃, 浓缩样品与等体积的 Loading buffer 混合后, 取 20 μL 上样到聚丙烯酰胺变性凝胶 6% 梯度为 30% ~ 65% 胶孔中, 150 V, 电泳 8 h, 1/10000 EB 染色 10 min, 1 × TAE 脱色 15 min, 紫外光成像系统 Gensnap 拍照获取图谱。

1.4 数据分析

Simca-p 11.5 (umertric) 用于 PLS 及 OPLS 及潜在标记的发现; 采用 MultiBase 进行 PCA、PLS-DA、PLS-EDA 分析。选取 Biolog ECO 培养 120, 在 590 nm 条件下, 31 种碳源吸光度经消除空白后作为分析的原始数据; 采用 Quantity one 4.6.2 软件对 DGGE 图谱数据化, 统计条带数、亮度、位置。采用 Microsoft office Excel 2010 对条带按位置进行对齐处理, 采用亮度作为分析的原始数据。DGGE 和 Biolog ECO 数据分析过程如下, 首先在 Microsoft office Excel 2010 加载 MultiBase 2014 的宏, 选中要分析的数据设置变量及处理, 对数据进行分类, 最后进行计算导出图形。

2 结果与分析

2.1 DGGE 和 Biolog ECO 数据的 PCA、PLS-DA、PLS-EDA 分析

图1为DGGE结果图，左边5条泳道表示昭通鲁甸5个取样点；右边5条泳道表示昭通靖安5个取样点。DGGE数据分析（图2-图4）表明：PCA的PC1为27.1%，有2个样品无法区分；PLS-DA的PC1

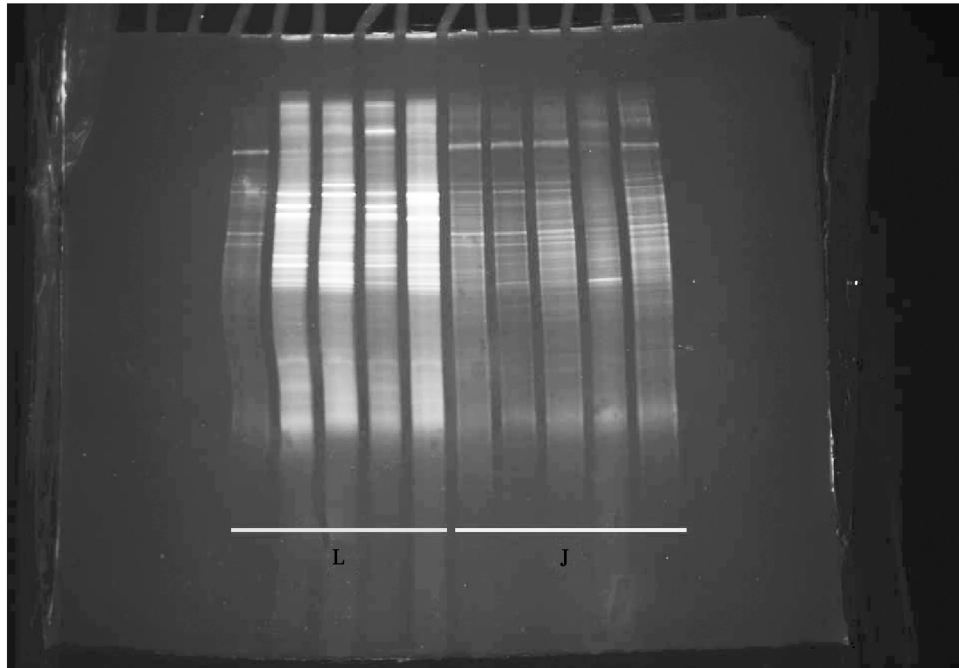


图1 变性梯度凝胶电泳 (DGGE) 图

Fig. 1 DGGE profile

注：L, J 表示昭通鲁甸和靖安试验点。

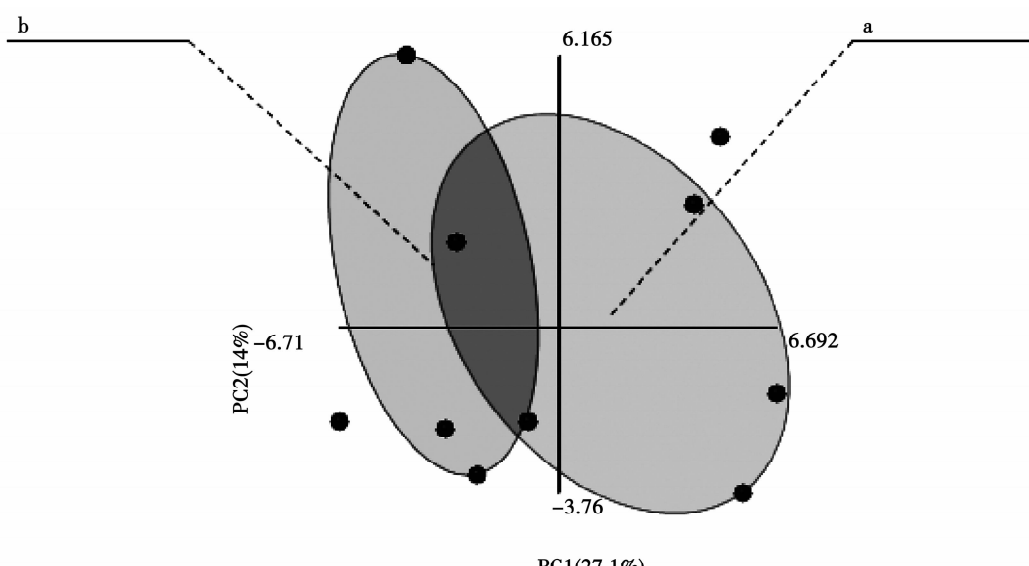


图2 变性梯度凝胶电泳 (DGGE) 数据的主成分分析 (PCA)

Fig. 2 PCA analysis of DGGE data

注：a, b 表示昭通两个不同的试验点，图3、图4同。

为 33%，有 1 个样品无法区分；PLS – EDA 把昭通的 2 个试验点样品完全分开，PC1 为 16.8%。Biolog ECO 数据分析（图 5 – 图 7）表明：PCA 的 PC1 为 35.1%，有 6 个样品无法区分；PLS – DA 的 PC1 为 36.3%，有 4 个样品无法区分；PLS – EDA 把昭通的 2 个试验点和寻甸样品完全分开，PC1 为 25.5%。

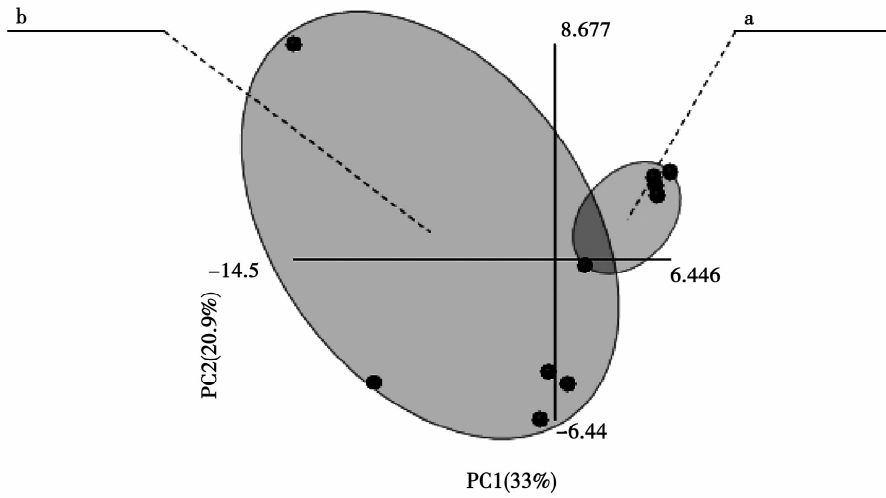


图 3 变性梯度凝胶电泳 (DGGE) 数据的最小二乘法判别法分析 (PLS – DA)

Fig. 3 PLS – DA analysis of DGGE data

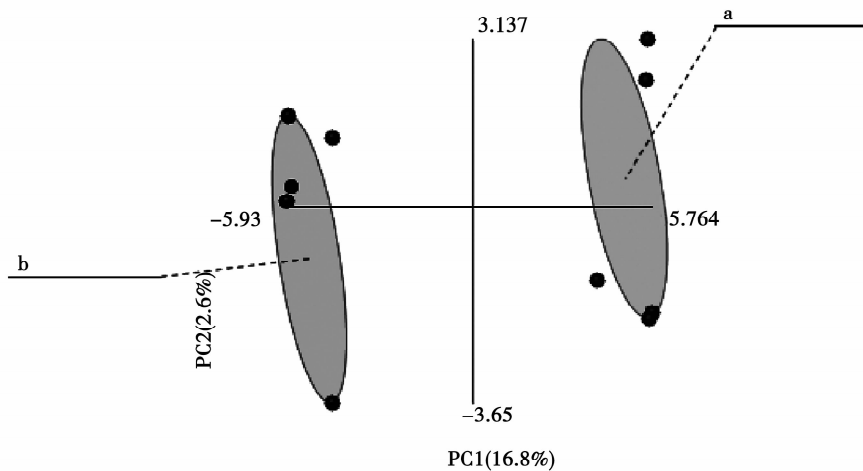


图 4 变性梯度凝胶电泳 (DGGE) 数据的最小二乘法增强判别法分析 (PLS – EDA)

Fig. 4 PLS – EDA analysis of DGGE data

2.2 基于 PLS 和 OPLS 筛选环境微生物标记

采用 PLS 和 OPLS 筛选出 $VIP \geq 1.00$ 的条带和碳源作为潜在生物标记，见表 1，筛选发现 DGGE PLS 和 OPLS 筛选差异较大，PLS 筛选出 19 个带型作为标记，OPLS 筛选出 11 个带型作为标记；Biolog 差异较小，OPLS 与 PLS 相比多 2 种碳源，应综合考虑 PLS 和 OPLS 的筛选结果。DGGE 考虑到后续克隆条带进行微生物种类鉴定，因此，可选 PLS 的 $VIP \geq 1.00$ 的条带作为潜在生物标记。

表 1 DGGE 和 Biolog 微生物候选标记
Tab. 1 Candidate for microbial makers in DGGE and Biolog

PLS 条带位置 Band position	DGGE 数据 DGGE data		Biolog ECO 数据 Biolog ECO data		
	OPLS VIP	条带位置 Band position	PLS 碳源 C type	OPLS VIP	碳源 C type
1	2.45	1	A4	1.03	A4
2	2.45	2	A8	1.34	A8
3	2.45	3	B4	1.04	B4
4	2.45	4	B6	1.06	B6
24	2.45	24	C4	1.15	C4
25	2.45	25	C6	1.06	C6
26	2.45	26	C8	1.05	C8
35	1.40	35	D1	1.42	D1
15	1.27	15	D4	1.20	D4
34	1.09	34	D5	1.28	D5
17	1.07	17	D7	1.34	D7
74	1.68		D8	1.17	D8
50	1.64		C2	2.04	D3
59	1.43		D2	1.21	
84	1.35				
86	1.12				
56	1.09				
18	1.07				
48	1.02				

注: 1 – 4、24 – 26、15、17 – 18、34 – 35、48、50 – 56、59、84、86 表示 DGGE 图谱分析结果; C2、D1、A8、D7、D5、D2、D4、D8、C4、C6、B6、C8、B4、A4 表示 Biolog ECO 碳源种类。

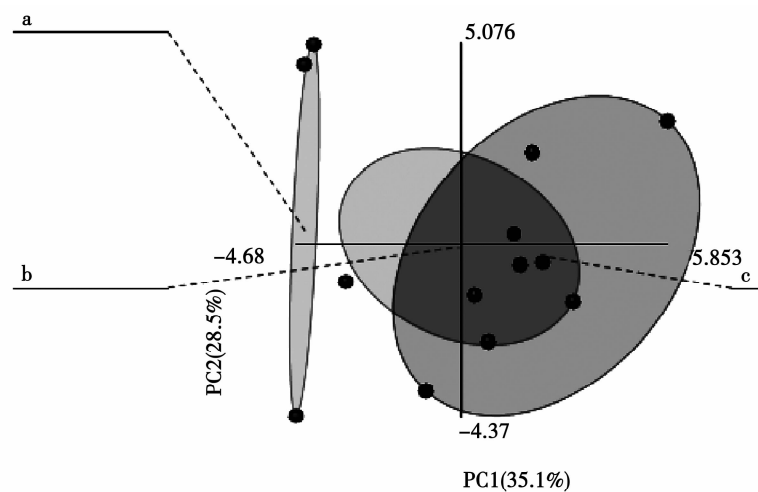


图 5 Biolog ECO 数据的主成分分析 (PCA)

Fig. 5 PCA analysis of Biolog ECO data

注: a、b、c 分别表示寻甸及昭通 3 个不同的试验点, 图 6、图 7 同。

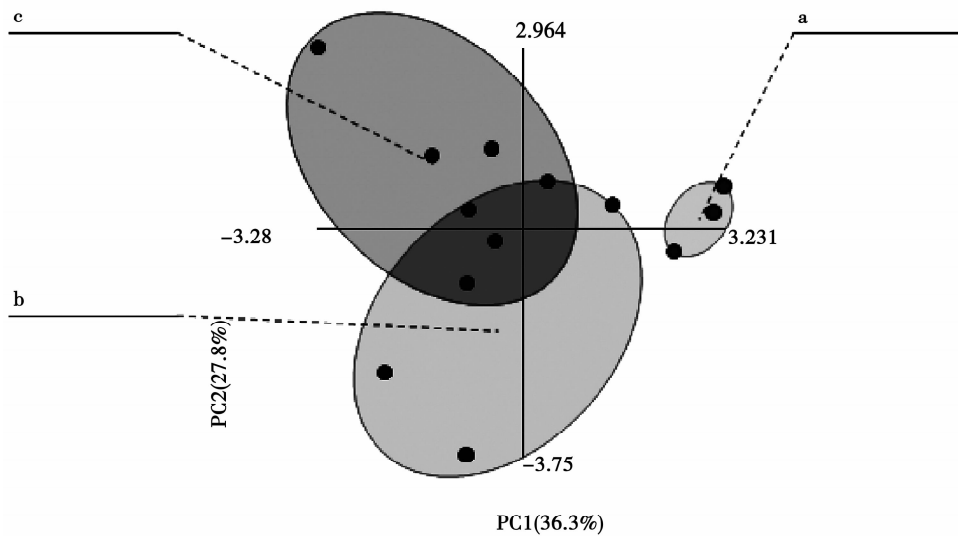


图6 Biolog ECO 数据的最小二乘法判别法分析 (PLS-DA)

Fig. 6 PLS-DA analysis of Biolog ECO data

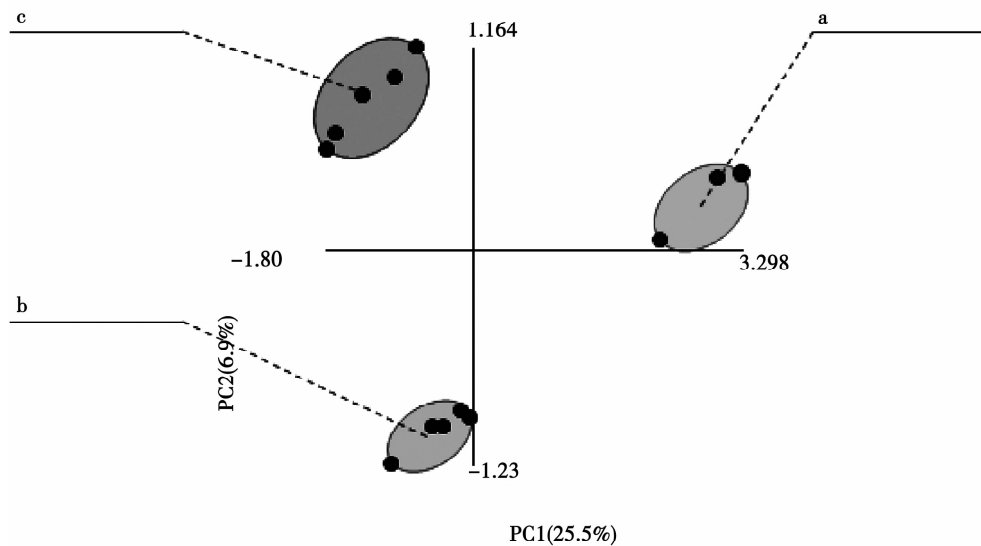


图7 Biolog ECO 数据的最小二乘法增强判别法分析 (PLS-EDA)

Fig. 7 PLS-EDA analysis of Biolog ECO data

3 讨 论

土壤微生物 Biolog ECO 和 DGGE 数据分析多采用 PCA^[15-16]，该方法区分不同环境样品依赖 PCs 得分系数，但是样品离散程度大，无法直观看出环境对土壤微生物多样性的影响，也有研究使用 DCCA (Detrended canonical correspondence analysis) 及 CCA (Canonical correspondence analysis) 方法反应环境对土壤微生物多样性的影响^[17-19]，但是目前 CANOCO 是收费软件，操作复杂，况且 DCCA 及 CCA 方法还有无法克服的问题。也有较少的研究者采用 PLS^[8]，PLS 是一种有监督的分析方法，对环境数据进行回归分析，建立可解释变量的模型，但是需对模型的可靠性进行判定，才能确定是否合乎逻辑与事实。因此，PCA 及 PLS 不能有效的解释环境变异与微生物多样性的关系^[20-21]。

PLS-DA、PLS-EDA 在代谢组学数据分析中有强大的优势，尤其是分析环境条件与代谢物的关系^[13,22-23]。土壤微生物多样性的数据和代谢组数据具有相似性，都属于多元变量。因此，研究认为，该方法同样适用于微生物多样性与环境关系的研究。研究中采用 PCA、PLS-DA、PLS-EDA 3 种方法对 Biolog ECO 和 DGGE 数据分析作对比，发现 PLS-EDA 能够将不同环境的样品区分开来，PLS-DA 能够区分出大多数样品，PCA 无法区分不同环境的样品。因此，PLS-DA、PLS-EDA 可作为分析微生物多样性数据的新方法。

已有的研究认为 PCA 可从 Biolog ECO 和 DGGE 数据中能够确定哪些碳源或哪些条带对微生物群落结构变化起到主导作用，但是 PCA 结果过于笼统和模糊，依赖于碳源和带型在 PCs 上的荷载大小，但目前无统一荷载大小临界点值作为特征碳源或带型，一些研究中采取荷载筛选与多元方差分析结合，对特征碳源或带型进行显著性检测^[15-16]，此方法比较繁琐，因此，很难筛选出有价值的碳源和物种。研究采用 PLS 和 OPLS 两种方法筛选微生物标记，参照代谢组学特异物筛选方法，规定 $VIP \geq 1.00$ 的碳源和物种作为环境潜在代谢和物种标记^[24]。筛选结果表明：OPLS 及 PLS 都可选出一批在不同环境中的土壤微生物潜在代谢和物种标记，能为进一步分析微生物的生态功能提供有价值的信息。此方法为研究不同环境下土壤微生物多样性的特征标记物进行规范化鉴定。

近年来，多元变量分析广泛使用于生物统计中，大量分析软件的出现，不仅提高了数据分析效率，而且结果更直观易懂^[24]。在复杂样本及复杂环境数据分析中，多元变量分析为挖掘重要信息提供无以伦比的优势。PLS-EDA、OPLS、PLS 作为近年来发展出的新方法，同样可作为土壤微生物多样性数据分析最有效、最重要的方法。

参考文献：

- [1] Choi K, Dobbs F C. Comparison of two kinds of Biolog microplates (GN and ECO) in their ability to distinguish among aquatic microbial communities [J]. Journal of Microbiological Methods, 1999, 36 (3): 203-213.
- [2] Muyzer G, Smalla K. Application of denaturing gradient gel electrophoresis (DGGE) and temperature gradient gel electrophoresis (TGGE) in microbial ecology [J]. Antonie van Leeuwenhoek, 1998, 73 (1): 127-141.
- [3] Muyzer G, Brinkhoff T, Nübel U, et al. Denaturing gradient gel electrophoresis (DGGE) in microbial ecology [M]. In: Akkermans ADL, van Elsas J D, de Bruijn F J, eds. Molecular Microbial Ecology Manual. Dordrecht: Kluwer Academic Publishers, 1997.
- [4] Green C T, Scow K M. Analysis of phospholipid fatty acids (PLFA) to characterize microbial communities in aquifers [J]. Hydrogeology Journal, 2000, 8 (1): 126-141.
- [5] Rondon M R, August P R, Bettermann A D, et al. Cloning the soil metagenome: a strategy for accessing the genetic and functional diversity of uncultured microorganisms [J]. Applied and environmental microbiology, 2000, 66 (6): 2541-2547.
- [6] Borneman J, Skroch P W, O'Sullivan K M, et al. Molecular microbial diversity of an agricultural soil in Wisconsin [J]. Applied and Environmental Microbiology, 1996, 62 (6): 1935-1943.
- [7] LIU B R, JI G M, Chen J, et al. A review of methods for studying microbial diversity in soils [J]. Pedosphere, 2006, 16 (1): 18-24.
- [8] Frostegård Å, Bäth E, Tunlid A, et al. Shifts in the structure of soil microbial communities in limed forests as revealed by phospholipid fatty acid analysis [J]. Soil Biology and Biochemistry, 1993, 25 (6): 723-730.
- [9] Booth S C, Workentine M L, Wen J, et al. Differences in metabolism between the biofilm and planktonic response to metal stress [J]. Journal of proteome research, 2011, 10 (7): 3190-3199.
- [10] Verron T, Sabatier R, Joffre R. Some theoretical properties of the O - PLS method [J]. Journal of chemometrics, 2004, 18 (2): 62-68.
- [11] Stenlund H, Gorzsás A, Persson P, et al. Orthogonal projections to latent structures discriminant analysis modeling on in situ FT-IR spectral imaging of liver tissue for identifying sources of variability [J]. Analytical chemistry, 2008, 80 (18): 6898-6906.
- [12] Chevallier S, Bertrand D, Kohler A, et al. Application of PLS - DA in multivariate image analysis [J]. Journal of Chemometrics, 2006, 20 (5): 221-229.

- [13] Qiu Y P, Cai G X, Su M M, et al. Serum metabolite profiling of human colorectal cancer using GC – TOFMS and UPLC – QTOFMS [J]. Journal of proteome research, 2009, 8 (10) : 4844 – 4850.
- [14] Tugizimana F, Piater L, Dubery I. Plant metabolomics: A new frontier in phytochemical analysis [J]. South African Journal of Science, 2013, 109 (5 – 6) : 1 – 11..
- [15] Cavigelli M A, Robertson G P, Klug M J, et al. Fatty acid methyl ester (FAME) profiles as measures of soil microbial community structure [J]. Plant and soil, 1995, 170 (1) : 99 – 113.
- [16] Kirk J L, Beaudette L A, Hart M, et al. Methods of studying soil microbial diversity [J]. Journal of microbiological methods, 2004, 58 (2) : 169 – 188.
- [17] 王 强, 戴九兰, 吴大千, 等. 微生物生态研究中基于 BIOLOG 方法的数据分析 [J]. 生态学报, 2010, 30 (3) : 817 – 823.
- [18] 邢德峰, 任南琪. 应用 DGGE 研究微生物群落时的常见问题分析 [J]. 微生物学报, 2006, 46 (2) : 331 – 335.
- [19] 辛 亮, 武传东, 曲 东. 长期施肥对旱地土壤中氨氧化微生物丰度和分布的影响 [J]. 西北农业学报, 2012, 21 (6) : 41 – 46.
- [20] Pietikäinen J, Fritze H. Clear – cutting and prescribed burning in coniferous forest: comparison of effects on soil fungal and total microbial biomass, respiration activity and nitrification [J]. Soil Biology and Biochemistry, 1995, 27 (1) : 101 – 109.
- [21] Frostegård Å, Tunlid A, Bååth E, et al. Phospholipid fatty acid composition, biomass, and activity of microbial communities from two soil types experimentally exposed to different heavy metals [J]. Applied and Environmental Microbiology, 1993, 59 (11) : 3605 – 3617.
- [22] Weckwerth W. Metabolomics in systems biology [J]. Annual review of plant biology, 2003, 54 (1) : 669 – 689.
- [23] Bundy J G, Davey M P, Viant M R, et al. Environmental metabolomics: a critical review and future perspectives [J]. Metabolomics, 2009, 5 (1) : 3 – 21.
- [24] Xia J G, Mandal R, Sinevnikov I V, et al. MetaboAnalyst 2. 0—a comprehensive server for metabolomic data analysis [J]. Nucleic acids research, 2012, 40 (W1) : W127 – W133.